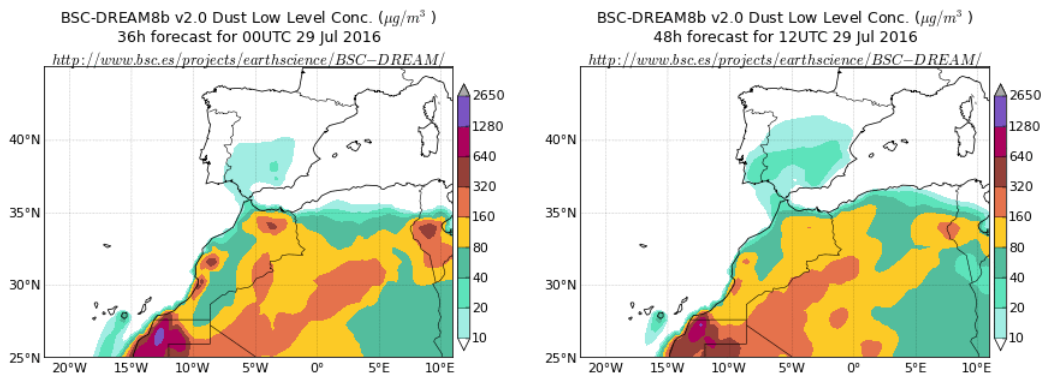


Predicción de intrusión de masas de aire africano sobre España para el día 29 de julio de 2016

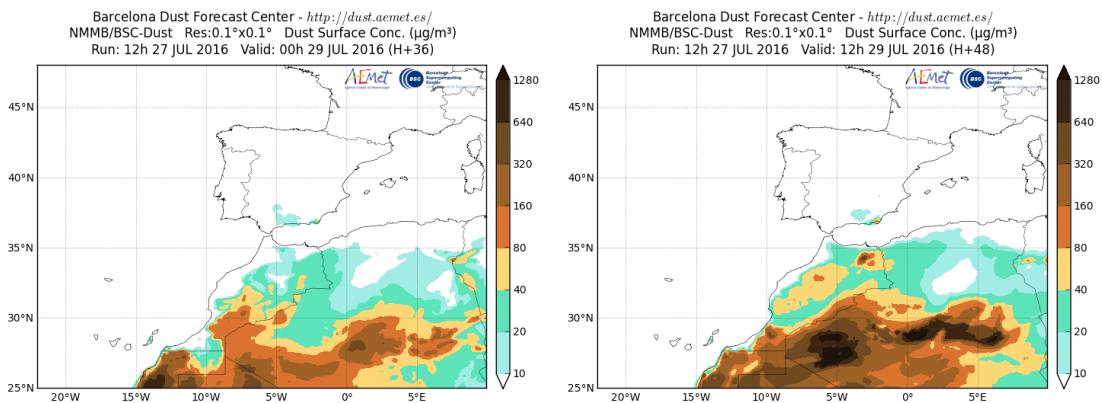
Los modelos prevén la continuación del episodio de intrusión de masas de aire africano sobre la Península a lo largo del día 29 de julio. Estiman concentraciones de polvo en superficie en el rango 10-40 $\mu\text{g}/\text{m}^3$ para el sureste de la Península y algo inferiores para zonas del suroeste, centro y este. Según el modelo SKIRON también podría producirse depósito seco de polvo sobre el sur de la Península y las islas Canarias a lo largo del día 29 de julio.

El modelo BSC-DREAM8b v2.0 prevé la presencia de masas de aire africano a nivel de superficie sobre la Península para el día 29 de julio. Estima concentraciones de polvo en superficie en el rango 10-40 $\mu\text{g}/\text{m}^3$ para el sur, centro y este de la Península.



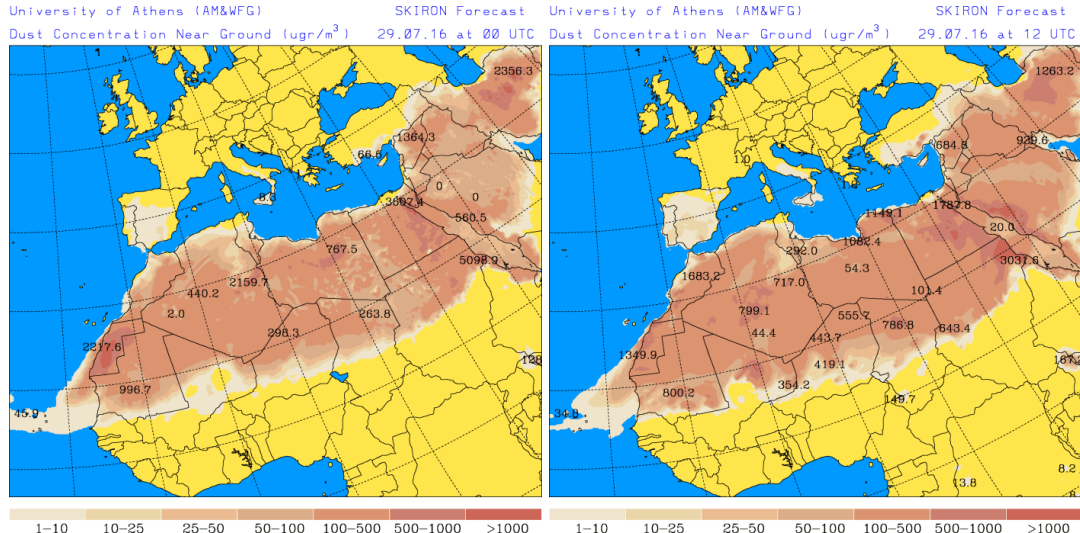
Concentración de polvo ($\mu\text{g}/\text{m}^3$) predicha por el modelo BSC-DREAM8b v2.0 para el día 29 de julio de 2016 a las 00 UTC (izquierda) y a las 12 UTC (derecha). © Barcelona Supercomputing Center.

El modelo NMMB/BSC-Dust prevé también la presencia de polvo sobre el sur de la Península para el día 29 de julio. Las concentraciones de polvo en superficie podrían estar en el rango 10-40 $\mu\text{g}/\text{m}^3$ para el sureste de la Península. Los niveles tan altos estimados para la costa sureste peninsular podrían estar debidos a procesos de resuspensión local.



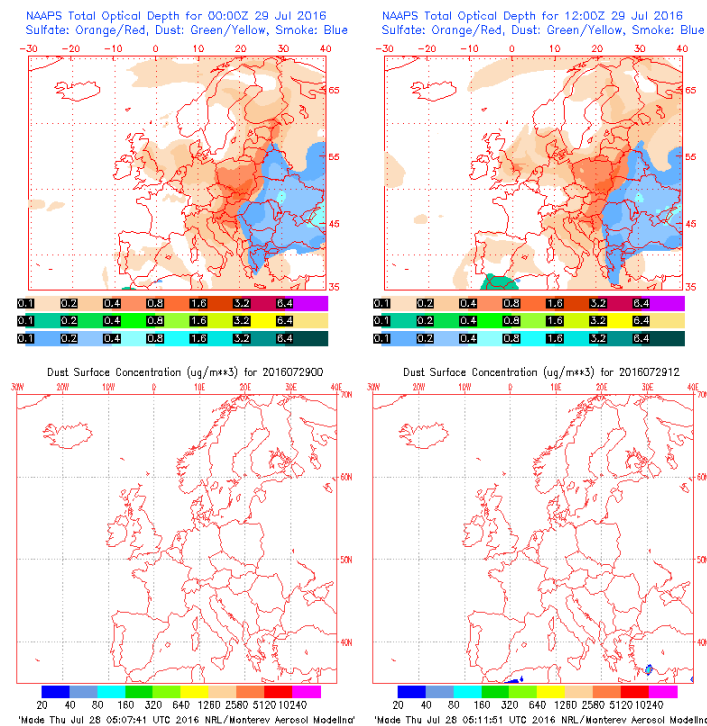
Concentración de polvo ($\mu\text{g}/\text{m}^3$) predicha por el modelo NMMB/BSC-Dust para el día 29 de julio de 2016 a las 00 UTC (izquierda) y a las 12 UTC (derecha). © Barcelona Dust Forecast Center.

El modelo SKIRON prevé también la presencia de masas de aire africano en superficie sobre la Península para el día 29 de julio. Estima concentraciones de polvo en superficie en los rangos 1-50 $\mu\text{g}/\text{m}^3$ para el sureste de la Península, 1-25 $\mu\text{g}/\text{m}^3$ para el suroeste, centro y este e inferiores a 10 $\mu\text{g}/\text{m}^3$ para otras zonas de la Península y las islas Canarias.

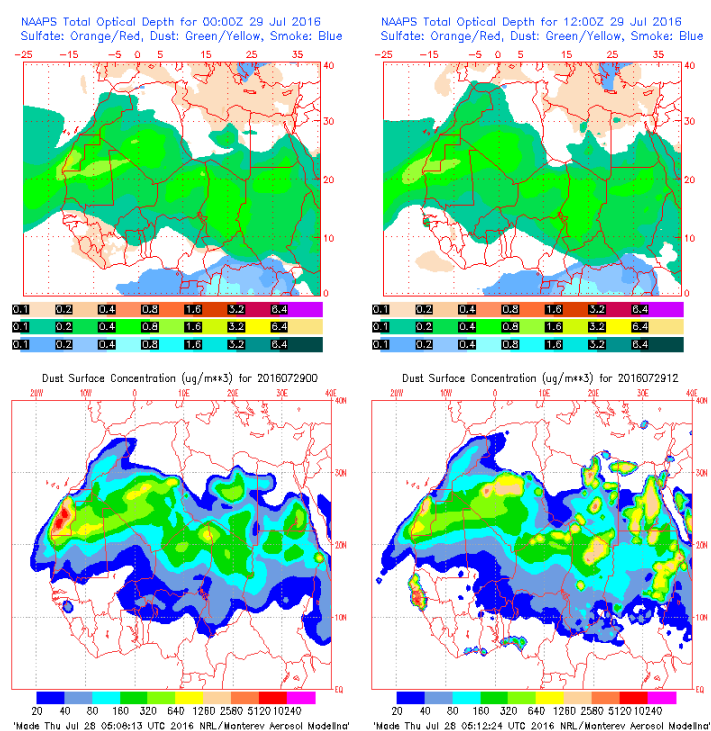


Concentración de polvo ($\mu\text{g}/\text{m}^3$) predicha por el modelo SKIRON para el día 29 de julio de 2016 a las 00 UTC (izquierda) y a las 12 UTC (derecha). © Universidad de Atenas.

El modelo NAAPS no prevé la presencia de masas de aire africano en superficie sobre la Península ni sobre las islas Canarias para el día 29 de julio.

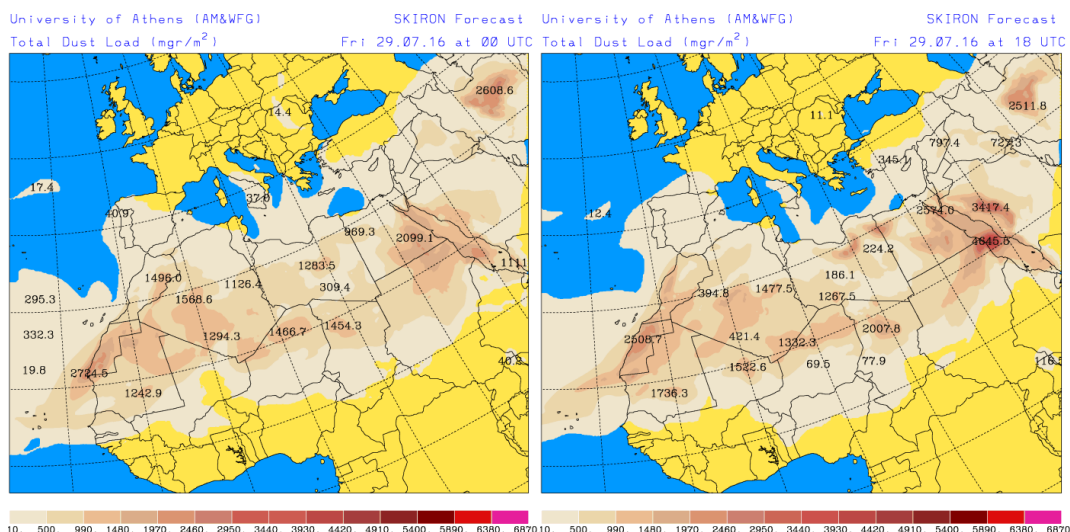


Espesor óptico de aerosoles a 550 nm (arriba) y concentración de polvo a nivel de superficie (abajo) previstos por el modelo NAAPS para el día 29 de julio de 2016 a las 00:00 UTC. ©Naval Research Laboratory (NRL), Monterey, CA.

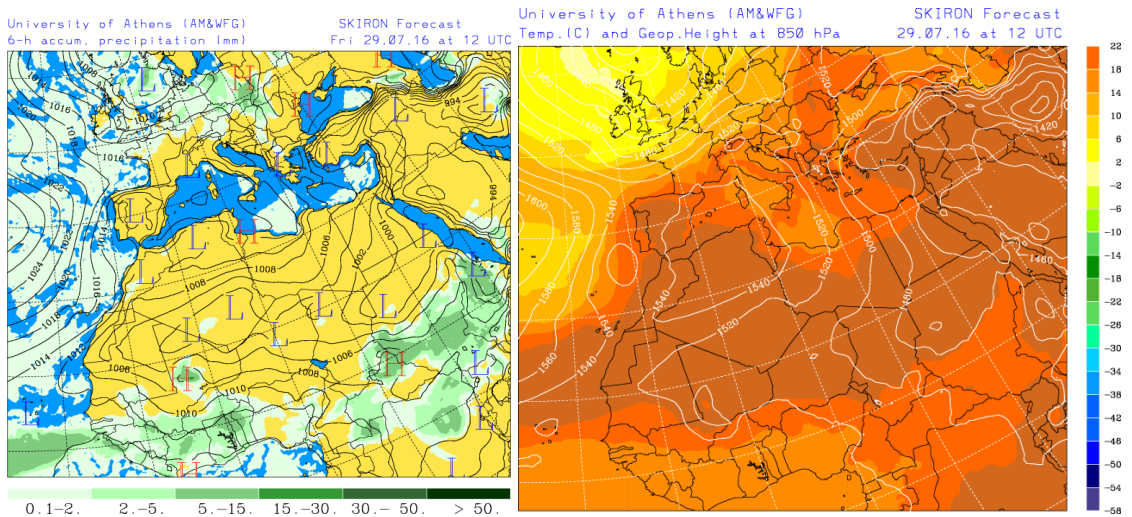


Espesor óptico de aerosoles a 550 nm (arriba) y concentración de polvo a nivel de superficie (abajo) previstos por el modelo NAAPS para el día 29 de julio de 2016 a las 00:00 UTC. ©Naval Research Laboratory (NRL), Monterey, CA.

Los mapas de carga total de polvo, así como los de presión a nivel del mar y altura geopotencial a nivel de 850 hPa proporcionados por el modelo SKIRON muestran la presencia de masas de aire africano sobre la Península, las islas Baleares y las islas Canarias a lo largo del día 29 de julio.

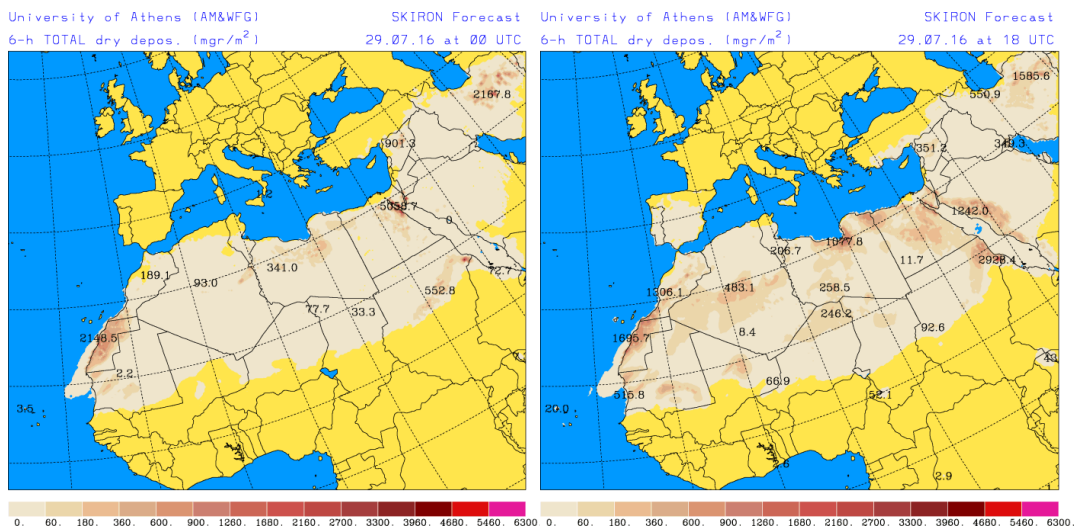


Carga total de polvo (mg/m^2) predicha por el modelo SKIRON para el día 29 de julio de 2016 a las 00 UTC (izquierda) y a las 18 UTC (derecha). © Universidad de Atenas.



Precipitación acumulada (mm) y presión a nivel del mar (hPa) (izquierda) y campo de temperaturas (°C) y de altura geopotencial a 850 hPa (derecha) previsto por el modelo SKIRON para el día 29 de julio de 2016 a las 12 UTC. © Universidad de Atenas.

Según el modelo SKIRON también podría producirse depósito seco de polvo sobre el sur de la Península y las islas Canarias a lo largo del día 29 de julio.



Depósito seco de polvo (mg/m^2) predicho por el modelo SKIRON para el día 29 de julio de 2016 a las 00 UTC (izquierda) y a las 18 UTC (derecha). © Universidad de Atenas.

Fecha de elaboración de la predicción: 28 de julio de 2016

Predicción elaborada por Noemí Pérez (IDAEA-CSIC).

Los datos son propiedad de la Dirección General de Calidad y Evaluación Ambiental, del Ministerio de Agricultura, Alimentación y Medio Ambiente, y han sido obtenidos y se suministran en el marco del “Acuerdo de Encomienda de Gestión entre el Ministerio de Agricultura, Alimentación y Medio Ambiente y la Agencia Estatal Consejo Superior de Investigaciones Científicas para la realización de trabajos relacionados con el estudio y evaluación de la contaminación atmosférica por material particulado y metales en España”.